

УДК 502/504:627.131:532.51

**Н.В. Арефьев, доктор техн. наук, профессор**  
**М.А. Михалев, доктор техн. наук, профессор**  
**О.С. Скворцова, канд. техн. наук, доцент**

Государственное образовательное учреждение высшего профессионального образования  
«Санкт-Петербургский государственный политехнический университет»

## ОБЩИЙ РАЗМЫВ РУСЛА И ПОНИЖЕНИЕ УРОВНЯ ВОДЫ В НИЖНЕМ БЬЕФЕ ВОДОХРАНИЛИЩНЫХ ГИДРОУЗЛОВ

*Рассматривается алгоритм математического моделирования транспорта аллювиальных отложений и процесса деформации русла неравномерным потоком. Программа позволяет решить проблему общего размыва русла в нижнем бьефе гидротехнических сооружений.*

*A mathematical modeling technique for description of non-uniform flow, alluvium drifts transportation and soil multi-fraction particles effect on the bottom deformation is considered. By means of a program implemented on the model, a number of practical problems can be solved related to scours of channels of non-cohesive soils in the downstream zones of water works.*

В нижнем бьефе гидроузлов наблюдают два вида размывов русла: местный и общий. Местный размыв русла происходит за водосбросными сооружениями, входящими в состав гидроузлов. Причины местного размыва: неполное гашение кинетической энергии воды в пределах водобоя и рисбермы, высокий уровень турбулентности потока, увеличение удельного расхода воды по сравнению с естественными условиями. Этот вид русловых деформаций не поддается строгому математическому описанию. Размеры воронки местного размыва можно вычислить на основании результатов физического моделирования явления в соответствии с требованиями теорий подобия и размерностей [1]. Если местный размыв затрагивает только часть русла реки, непосредственно примыкающую к рисберме водосбросных сооружений, то общий размыв распространяется в русле ниже створа гидроузла на большое расстояние. На всем участке русла, подверженного общему размыву, наблюдаются понижения отметок дна и уровней воды. Это может повлечь за собой изменение режима сопряжения бьефов в самом гидроузле с катастрофическими последствиями, а также создать затруднения с отбором воды из реки на расположенных ниже по течению водозаборных сооружениях. Основная причина общего размыва русла — осаждение наносов, перемещаемых водным потоком, в водохранилище гидроузла. Обладая способностью транспортировать речные наносы, поток стремится на-

брать их в нижнем бьефе в том количестве, которое он потерял в водохранилище. Следовательно, в нижнем бьефе наблюдается постоянный смыг наносов — их уносит вниз по течению, из-за чего отметки дна и уровней воды в реке понижаются.

Схема явления деформации русла в нижнем бьефе гидроузла представлена на рисунке. Здесь пунктирной линией изображено дно водотока до образования воронки местного размыва; глубина воронки обозначена  $z_p$ , длина —  $x_p$ . Через промежуток времени  $\Delta t$  после начала эксплуатации гидроузла на участке нижнего бьефа длиною  $x + \Delta x$  произошел общий размыв русла. Свободная поверхность воды, которая до общего размыва русла занимала положение 1, вследствие понижения дна русла приняла положение 2. При этом уровень воды не-

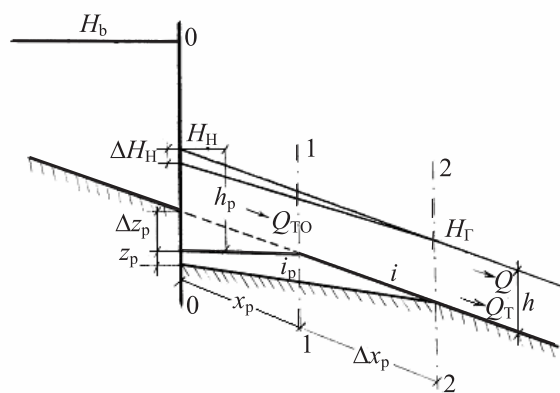


Схема общего размыва русла

посредственно у гидроузла понизился на величину  $\Delta H_{\text{H}}$ . Вместе с понижением уровня воды произошло увеличение глубины воронки местного размыва на величину  $\Delta z_p$ .

Принято допущение: глубина воды в воронке местного размыва  $h_p$  остается постоянной:  $h_p = h + z_p$ , где  $h$  — глубина воды в русле до образования размывов. С учетом этого допущения следует, что дно воронки местного размыва понижается на такую величину, на которую происходит падение уровня воды вследствие общего размыва:  $\Delta H_{\text{H}} = \Delta z_p$ . Предполагается, что из верхнего бьефа в нижний поступает твердый расход:  $Q_{\text{TO}} > 0$ . Ниже створа общего размыва 2–2 поток транспортирует наносы, расход которых равен  $Q_T$ , при этом выполняется условие:  $Q_T > Q_{\text{TO}}$ . Следующее допущение: движение воды ниже этого створа равномерное; дно имеет постоянный уклон  $i$ , соответствующий средней линии дна на достаточно протяженном участке нижнего бьефа; в пределах общего размыва между створом гидроузла 0–0 и створом 2–2 дно прямолинейное, с уклоном  $i_p$ . Таким образом, объем призмы смытых наносов легко определить, исходя из его геометрических размеров. Зная объем наносов и расходы  $Q_T$  и  $Q_{\text{TO}}$ , можно найти время  $\Delta t$ , за которое эти наносы унесены потоком.

Схема, изображенная на рисунке, является базовой, на каждом последующем этапе расчетов она вновь и вновь неоднократно повторяется. Приведем основные расчетные зависимости и алгоритм решения задачи. Заданы следующие величины: расход воды  $Q$ , проходящий через сооружения гидроузла из верхнего бьефа в нижний; кривая связи уровней и расходов воды  $Q = f(H_{\text{H}})$ , позволяющая по расходу  $Q$  определять соответствующий уровень воды в нижнем бьефе  $H_{\text{H}}$ ; мутность воды (или расход наносов)  $Q_{\text{TO}}$ , поступающей из водохранилища в нижний бьеф; протяженность воронки местного размыва русла  $x_p$  и глубина воды в ней  $h_p$ ; кривая гранулометрического состава грунтов, слагающих русло водотока; уклон дна водотока  $i$  и глубина воды в нем  $h$ . В естественных условиях ось  $x$  совпадает с дном водотока и направлена вниз по течению. На участке общего размыва на каждом этапе расчетов ось  $x$  совпадает с дном деформируемого русла (синус угла наклона оси к горизонтальной плоскости равен  $i_p$ ) и тоже направлена вниз по течению. Глубину потока измеряют по

вертикали; гидравлический радиус определяют по формуле  $R = \Omega/\chi$ , где  $\chi$  — смоченный периметр,  $\Omega$  — площадь живого сечения, соответствующие расходу воды  $Q$ . В общем случае при неполном регулировании стока с помощью водохранилища расход воды, поступающей в нижний бьеф, является сложной функцией времени. В таком случае гидрограф реки заменяется «ступенчатой» кривой.

Алгоритм задачи — это несколько блоков, первый из которых — «Сопротивление движению воды в русле реки». Следует иметь в виду, что деформации русла в зоне общего размыва русла определяют русловым процессом вне этой зоны. Унос определенной фракции наносов за пределы зоны общего размыва зависит от способности потока транспортировать эту фракцию в русле реки вне данной зоны. Это дает основание предполагать, что русловые формы в зоне размыва и в русле одинаковы. Русловой процесс — сложное природное явление, обладающее прямыми и обратными связями [2]. Прямая связь потока и русла, обычная для гидравлических задач, проявляется в том, что русло (его форма и шероховатость поверхности) создают в потоке определенное скоростное поле. Обратная связь заключается в том, что поток сам создает себе русло, которое отвечает его скоростному полю. Эта сложность находит свое отражение и в математическом описании явления: решение задачи может быть реализовано только методом последовательного приближения.

Если скорость потока  $U$  превышает неразмывающую скорость для частиц, слагающих ложе реки, то в нем появляются песчаные волны-гряды (рифели). Размеры этих русловых форм намного превышают размеры частиц грунта, поэтому сопротивление движению воды увеличивается, скорость течения уменьшается. В соответствии с [3] высоту гряд и рифелей  $h_r$  определяют по формуле

$$\frac{h_r}{R} = 3,5 \frac{(1 - U_{oc}/U)^{2/3}}{\lg R/d_c + 6}. \quad (1)$$

В формировании русловых форм участвуют все фракции грунтов, слагающих русло реки, поэтому  $d_c$  — средний диаметр наносов,  $U_{oc}$  — соответствующая этому размеру неразмывающая скорость потока. При этом

$$d_c = \sum_{i=1}^n \Delta P_i d_i,$$

где  $n$  — число интервалов, на которые разбивается вертикальная ось кривой гранулометрического состава грунтов;  $\Delta P_i$  — вероятность попадания размера частиц  $d_i$  в  $i$ -й интервал.

Крутину гряды определяют так:

$$\frac{h_\Gamma}{l_\Gamma} = 1,25 \frac{(1 - U_{oc}/U)^{5/3}}{\lg R/d_c + 6}, \quad (2)$$

где  $l_\Gamma$  — длина гряды.

Что касается крутизны рифелей, то она равна

$$h_\Gamma/l_\Gamma = 0,1. \quad (3)$$

Как показывают результаты исследований, гряды образуются в несвязном зернистом грунте, если выполняется условие  $d_c > 0,25$  мм (при условии  $d_c \leq 0,25$  мм в русле образуются рифели) [3]. Приведенные зависимости характеризуют среднестатистические размеры упомянутых русловых форм. При подобном строении дна коэффициент гидравлического трения  $\lambda_\Gamma$  определяют по формуле

$$\lambda_\Gamma = 0,205 \frac{h_\Gamma}{l_\Gamma} \left( \frac{h_\Gamma}{R} \right)^{0,25} + \lambda \left( 1 - 10 \frac{h_\Gamma}{l_\Gamma} \right), \quad (4)$$

где  $\lambda$  — коэффициент гидравлического трения поверхности гряды.

Высоту выступов шероховатости  $\Delta$ , входящую в коэффициент гидравлического трения, определяют по размерам самых крупных частиц. В качестве таковых обычно принимают размер  $d_k$ , которому по кривой гранулометрического состава соответствует  $P_k \approx 95\%$ .

Если  $d_k \leq 4$  мм, то  $\Delta \approx d_k$ ; при условии  $4 \text{ мм} < d_k \leq 8 \text{ мм}$   $\Delta \approx (0,8 \dots 1,0)d_k$ ; в случае, если  $8 \text{ мм} < d_k \leq 20 \text{ мм}$ ,  $\Delta \approx (0,65 \dots 0,8)d_k$ , и т.д. [4].

Для области квадратичного сопротивления коэффициент гидравлического трения находят из формулы

$$1/\sqrt{\lambda} = 4 \lg R/\Delta + 4,25. \quad (5)$$

В переходной области:

$$1/\sqrt{\lambda} = 4 \lg R/\Delta - 1,4 \lg Ar_\Delta + 11,28. \quad (6)$$

В области гидравлического гладкого русла коэффициент гидравлического трения является корнем уравнения:

$$\lambda - 0,0008 - \frac{0,0435 \lambda^{0,118}}{Ar_R} = 0. \quad (7)$$

В формулах (3)...(5) обозначено:

$$Ar_\Delta = \frac{g \Delta^3}{v^2} (\rho_1 / \rho - 1) \text{ и } Ar_R = \frac{g R^3}{v^2} (\rho_1 / \rho - 1),$$

где  $Ar_D$  и  $Ar_R$  — критерии Архимеда, в которых в качестве характерного размера приняты соответственно высота выступов шероховатости и гидравлический радиус потока;  $g$  — ускорение силы тяжести;  $v$  — кинематическая вязкость воды;  $\rho_1$  и  $\rho$  — плотность материала грунта и воды соответственно.

В соответствии с [5] число Рейнольдса  $Re_{*c}$ , включающее динамическую скорость потока, отвечающую началу трогания частиц несвязного зернистого грунта  $U_{*c}$ , является функцией критерия Архимеда:

$$Re_{*c} = \frac{U_{*c} d_c}{v} = a Ar_c^n, \quad (8)$$

где  $Ar_c = \frac{g d_c^3}{v^2} (\rho_1 / \rho - 1)$ ; параметры  $a$  и  $n$  зависят от области сопротивления.

В области квадратичного сопротивления, в которой  $Ar_c \geq 1,6(10^4 \dots 10^5)$ ,  $d_c \geq 1 \dots 2$  мм,  $a = 0,162$ ,  $n = 0,5$ . Аналогичные зависимости для переходной области можно представить в таком виде:  $2,4 \cdot 10^2 \leq Ar_c < 1,6(10^4 \dots 10^5)$ ,  $0,25 \text{ мм} \leq d_c < (1 \dots 2) \text{ мм}$ ,  $a = 0,314$ ,  $n = 0,432$ . Для области гидравлически гладкого русла:  $16 \leq Ar_c < 2,4 \cdot 10^2$ ,  $0,1 \text{ мм} \leq d_c < 0,25 \text{ мм}$ ,  $a = 0,502$ ,  $n = 0,35$ . Переход от динамической скорости к средней неразмывающей  $U_{oc}$  осуществляется с использованием формулы равномерного движения:

$$U_{oc} = U_{*c} \sqrt{2/\lambda_\Gamma}. \quad (9)$$

Если дно покрыто рифелями, то сопротивлением их поверхности пренебрегают, и формула (4) упрощается:

$$\lambda_\Gamma = 0,0205(h_\Gamma/R)^{0,25}. \quad (10)$$

Как показывают исследования [3], гряды и рифели существуют в русле реки при условии  $U_{oc} < U \leq 3U_{oc}$ . Если скорость течения  $U$  превышает неразмывающую  $U_{oc}$  больше чем в три раза, наносы из состояния донного влечения переходят в состояние полного взвешивания, начинают перемещаться в толще потока, а рифели и гряды на дне исчезают. В этом случае сопротивление движению оказывают выступы, шероховатости, соответствующие размеру частиц наносов, и коэффициент гидравлического трения определяют по формулам (5)...(7). Следовательно, сопротивление движению воды вследствие такого перехода может существенно уменьшиться, а скорость течения увеличиться.

Для решения задачи в блоке «Сопротивление движению воды в русле реки» авторы предлагают следующий алгоритм.

Первый шаг: задают отношение  $U/U_{\infty}$  в пределах  $1,0 < U/U_{\infty} < 3,0$ . Далее по формулам (1)...(3) находят высоту и крутизну гряды (рифеля). После этого из зависимостей (4) и (10) определяют коэффициент гидравлического трения этих русловых образований; в случае грядового строения дна дополнительно используют зависимости (5)...(7). Из формулы (8) определяют динамическую скорость потока  $U_{*o}$ , отвечающую началу трогания частиц размером  $d_c$ . Используя зависимость (9), находят среднюю неразмывающую скорость потока  $U_{\infty}$  для частиц грунта этой крупности. В связи с тем что средняя скорость потока задана, следует найти отношение  $U/U_{\infty}$  и сравнить его со значением, принятым в начале расчетов. В случае необходимости расчеты повторяют до тех пор, пока методом последовательных приближений не будет достигнута требуемая точность. Если в процессе расчетов окажется, что отношение  $U/U_{\infty}$  станет больше трех, то коэффициент гидравлического трения принимают по формулам (5)...(7). Естественно, что в этом случае процесс итераций становится ненужным.

Следующий блок «Неравномерное движение» относится к участку русла реки в нижнем бьефе гидроузла, подверженному общему размыву. Основная цель расчетов в этом блоке — найти понижение отметки дна  $\Delta z_p$  и уровня воды  $\Delta H_H$  непосредственно у сооружений. Благодаря принятому условию  $\Delta H_H = \Delta z_p$  достаточно определить понижение уровня воды, используя для этой цели уравнение неравномерного движения [6]:

$$\frac{dh}{dx} = \frac{i_p - i_f}{1 - Fr^2} = \varphi(h),$$

где  $i_f = U^2/C^2R = \lambda_\Gamma(U^2/2gR)$  — уклон трения;  $Fr = Q^2B/g\Omega^3$  — число Фруда;  $B$  — ширина русла;  $C = \sqrt{2g/\lambda_\Gamma}$  — коэффициент Шези.

После несложных преобразований можно установить связь между уклоном дна на участке общего размыва и уклоном дна реки:

$$i_p = i - \frac{z_p + \Delta z_p}{x + \Delta x}.$$

Алгоритм решения задачи в этом блоке следующий. Вначале устанавливают величину расстояния  $\Delta x$ , на которое общий размыв распространяется вниз по

течению реки, а также величину понижения уровня воды в нижнем бьефе непосредственно у сооружений  $\Delta H_H$  (следовательно, и величину понижения дна  $\Delta z_p$ ). В последующих расчетах величина  $\Delta x$  остается неизменной. Решая уравнение неравномерного движения, в котором параметры потока заданы в створе 2–2, находят эти параметры в створе 0–0, в том числе и уровень воды в нем, а также величину понижения уровня воды (последнюю сравнивают с принятой в начале расчетов). Расчет продолжается методом итераций до тех пор, пока принятое в начале понижение уровня воды не совпадает с полученным в конце расчетов. После этого можно найти объем смытого материала  $\Delta W$  как сумму площадей двух треугольников, умноженную на смоченный периметр русла:

$$\Delta W \approx 0,5\chi |\Delta z_p x_p + \Delta x (z_p + \Delta z_p)|.$$

Далее следует блок «Общий размыв русла». Как было отмечено выше, возможность деформации русла на участке общего размыва определяется транспортирующей способностью потока ниже по течению вне этого участка. В соответствии с заданной кривой гранулометрического состава грунтов в русле реки следует определить следующие размеры: наносов  $d_o$ , которые при известной скорости потока  $U$  перемещаться не будут (для них эта скорость является неразмывающей); частиц  $d_b$ , перемещающихся при этой скорости потока в состоянии полного взвешивания (скорость потока для этих частиц в три раза превышает неразмывающую скорость).

Для определения размера  $d_o$  принимаем условие:  $U = U_o$ , где  $U_o$  — неразмывающая скорость потока, соответствующая этой крупности частиц грунта. Тогда из зависимости (9) найдем динамическую скорость потока  $U_{*o}$ , отвечающую началу трогания этих частиц:

$$U_{*o} = U \sqrt{\lambda_\Gamma/2}.$$

Воспользуемся теперь формулой (8) для определения величины  $d_o$ :

$$U_{*o} = a Ar_o^n v / d_o,$$

$$\text{где } Ar_o = \frac{gd_o^3}{v^2} (\rho_1/\rho - 1).$$

Аналогичным образом поступаем для определения размера частиц  $d_b$ :

$$U_{*b} = 3U \sqrt{\lambda_\Gamma / 2},$$

$$U_{*b} = a Ar_b^n v / d_b,$$

где  $U_{*b}$  — динамическая скорость потока, отвечающая началу трогания частиц размером  $d_b$ ,

$$Ar_b = \frac{gd_b^3}{v^2} (\rho_1 / \rho - 1).$$

Зная размеры частиц  $d_o$  и  $d_b$ , находим соответствующие им вероятности  $P_o$  и  $P_b$ . Таким образом, все наносы, слагающие ложе реки, разделены на три категории: первая — это наносы таких размеров, которые при заданной кинематике потока не перемещаются, им отвечает условие  $d \geq d_o$ ; вторую категорию представляют фракции, перемещаемые в состоянии влечения по дну (в грядах или рифелях), им соответствуют размеры частиц  $d_b \leq d < d_o$ ; третья категория — это наносы, перемещающиеся в толще потока в состоянии полного взвешивания. Каждой категории соответствует своя расчетная формула для определения твердого расхода. Так, для расхода донных наносов в плотном теле ( $\text{м}^3/\text{с}$ ) в [7] предложена следующая формула:

$$Q_{\text{то}} = 0,015(U/U_o)^3(1 - U_o/U)dU\chi,$$

где  $U$  — неразмывающаяся скорость для практически однородных грунтов, размер которых мало отличается от среднего диаметра.

В [7] для расхода взвешенных наносов в плотном теле ( $\text{м}^3/\text{с}$ ) предложена следующая формула:

$$Q_{\text{тв}} = 0,000023(U/\omega)^4(d/R)^{1,6}Q,$$

где  $\omega$  — гидравлическая крупность наносов, геометрический размер которых равен  $d$ .

Для определения гидравлической крупности этих частиц можно рекомендовать зависимость [5]:

$$Re_\omega = \frac{\omega d}{v} = \frac{Ar_d}{18 + 0,61Ar_d^{0,5}}.$$

Общий расход перемещаемых потоком наносов

$$Q_t = Q_{\text{то}} + Q_{\text{тв}}.$$

Последний блок называется «Время деформаций», которое определяется как частное от деления объема деформаций на расход наносов.

**Ключевые слова:** водохранилище, водосливная плотина, нижний бьеф, общий размыв русла, несвязный грунт, неразмывающаяся скорость потока, незаиляющая скорость потока, транспортирующая способность потока, гряды, рифели, коэффициент гидравлического трения, понижение уровней дна и воды, критерии подобия: Рейнольдса, Фруда, Архимеда.

#### Список литературы

1. Mikhalev, M. A. Physical Modelling of Channel Processes in Lower Pools of Spillway Dams [Text] / M. A. Mikhalev // Proceedings of the International Symposium. – Vol. I. – St.Petersburg, 1994. – P. 201–208.
2. Михалев, М. А. О моделировании руслового процесса [Текст] / М. А. Михалев // Водные ресурсы. – 1989. – № 6. – С. 173–176.
3. Кнороз, В. С. Влияние макрошерохватости русла на его сопротивление [Текст] / В. С. Кнороз // Известия ВНИИГ. – Т. 62. – 1959. – С. 54–75.
4. Кнороз, В. С. Неразмывающая скорость для несвязных грунтов и факторы, ее определяющие [Текст] / В. С. Кнороз // Известия ВНИИГ. – Т. 59. – 1958. – С. 62–81.
5. Михалев, М. А. Материалы по моделированию некоторых видов движения вязкой жидкости [Текст] / М. А. Михалев // Известия ВНИИГ. – Т. 108. – 1975. – С. 27–39.
6. Гришанин, К. В. Динамика русловых потоков [Текст] / К. В. Гришанин. – Л.: Гидрометеоиздат, 1962. – 411 с.
7. Арефьев, Н. В. Программный комплекс расчета неустановившегося движения воды в разветвленной сети каналов [Текст] : методические указания / Н. В. Арефьев. – Л.: Издво ЛГТУ, 1991. – 57 с.